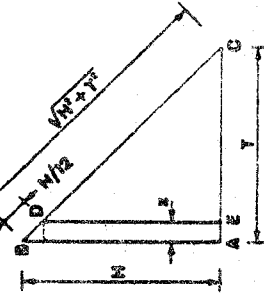


REGOLE DEL RONDELET PER LA DETERMINAZIONE DELLO SPESSORE DELLA RETE MURARIA PER EDIFICI

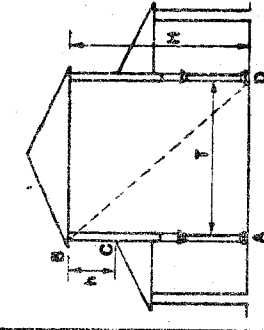
A UNICO AMBIENTE

$$x = \frac{HT}{12\sqrt{H^2 + T^2}}$$



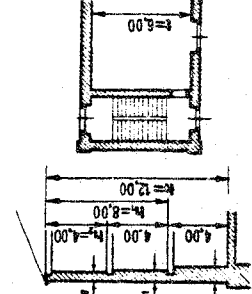
TIPO BASILICALE

$$x = \frac{(H+h)T}{24\sqrt{H^2 + T^2}}$$



A PIÙ PIANI A CORPO DI FABBRICA SEMPLICE

$$x = \frac{h}{24} = \frac{2t+h}{48}$$



A PIÙ PIANI A CORPO DI FABBRICA DOPPIO

$$x = \frac{t+h}{24} = \frac{t+h}{48}$$

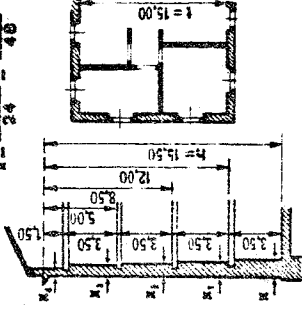


TABELLA DEGLI SPESSORI DEI MURI PORTANTI

PIANO	EDIFICI D'ABITAZIONI				EDIFICI A CARATTERE COLLETTIVO				EDIFICI PER ABITAZIONI COLLETTIVE		EDIFICI A CAR. COLLETTIVO			
	MURI INTERNI CON APERTURE		MURI ESTERNI TRASVERSALI CON APERTURE		MURI DI PROSPETTO CON APERTURE		MURI INTERNI CON APERTURE		MURI ESTERNI TRASVERSALI TRASVERSALI SENZA APERTURE		MURI DIVISORI		MURI DELLE SCALE	
	E SENZA		E SENZA		E SENZA		E SENZA		SENZA		CON		MURI DELLE SCALE	
	CARICO DELLA TRAVATURA.		CARICO DELLA TRAVATURA.		CARICO DELLA TRAVATURA.		CARICO DELLA TRAVATURA.		SENZA CARICO DI TRAVATURA.		SENZA CARICO DI TRAVATURA.		SENZA CARICO DI TRAVATURA.	
	BATTI	PIET.	BATTI	PIET.	BATTI	PIET.	BATTI	PIET.	BATTI	PIET.	BATTI	PIET.	BATTI	PIET.
SOCCOTOTETTO			30 45	30 45	30 45	30 45	30 45	30 45	30 45	30 45	30 45	30 45	30 45	30 45
1° PIANO SUPERIORE			45 45	30 45	30 45	45 45	45 45	45 45	45 45	45 45	30 45	30 45	30 45	30 45
2° PIANO SUPERIORE			45 45	30 45	45 45	45 50	45 50	45 50	45 50	45 50	45 45	45 45	30 45	30 45
3° PIANO SUPERIORE			60 60	45 50	45 50	60 65	60 65	60 65	60 65	60 65	45 55	45 55	30 45	30 45
4° PIANO SUPERIORE			60 75	45 55	45 55	75 75	60 65	60 65	60 65	60 65	60 65	60 65	45 50	45 50
5° PIANO SUPERIORE			75 90	60 65	60 65	90 90	60 70	60 70	60 70	60 70	75 80	75 80	45 50	45 50
SOCCOTOTETTO			80 100	60 70	60 70	100 100	75 90	75 90	60 65	60 65	90 100	90 100	45 60	45 60

Fig. 1 - Tavola tratta dal Milani (cfr. bibliografia 14, Parte I, tav. 14) con lievi variazioni formali. (Cfr. anche appendici 1 e 2).

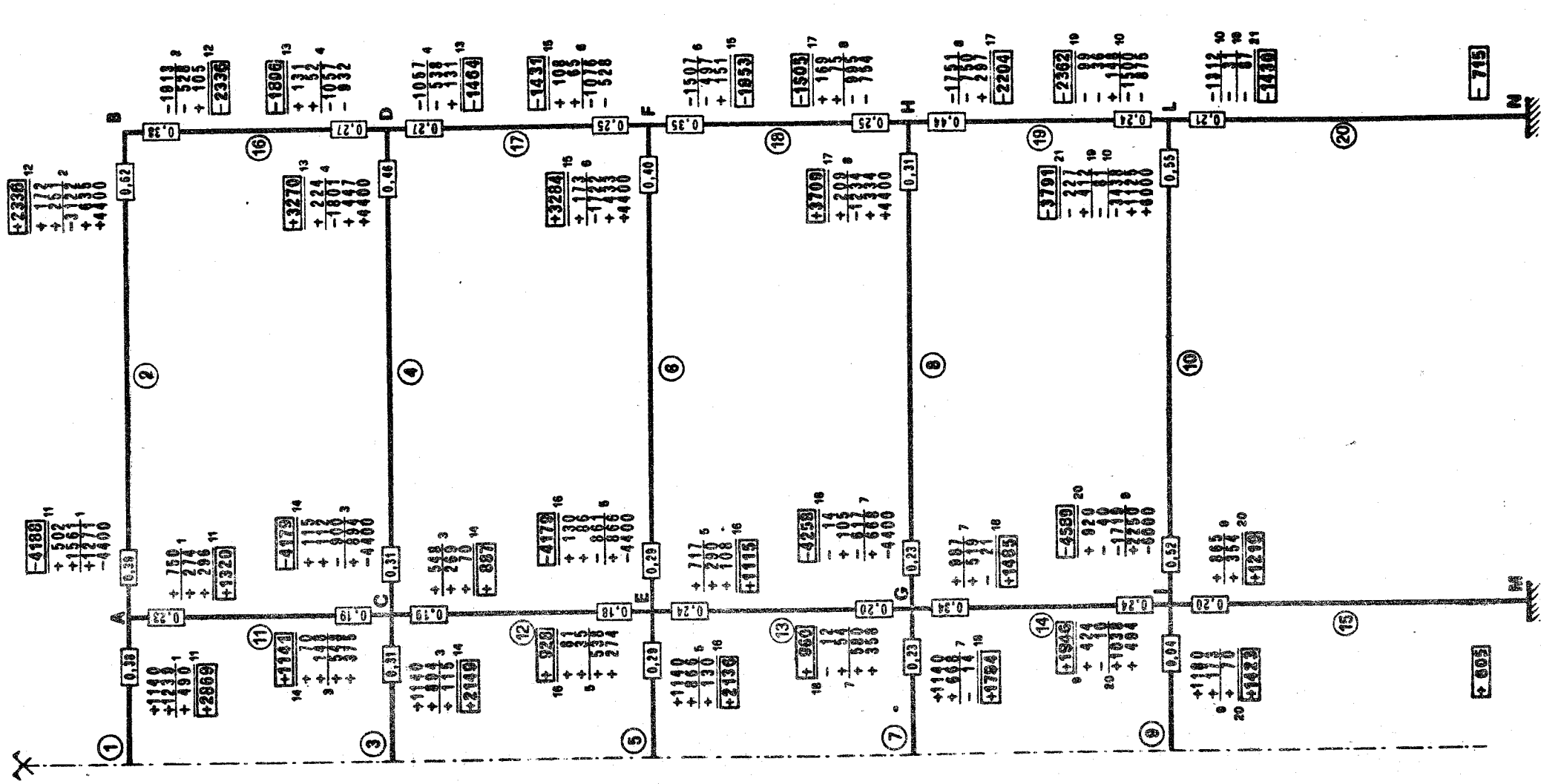


Fig.12 - Equilibramento dei momenti alla Cross: fase iniziale (o): il procedi-
mento e' svolto per due giri completi allo scopo di ottenere i momenti primi-
tivi.

0.50	0.49	0.48	0.47	0.46	0.45	0.44	0.43	0.42	0.41	0.40	0.39	0.38	0.37	0.36	0.35	0.34	0.33	0.32	0.31	0.30	0.29	0.28	0.27	0.26	0.25	0.24	0.23	0.22	0.21	0.20	0.19	0.18	0.17	1/16	0.16	0.15	0.14	0.13	0.12	0.11	0.10	0.09	0.08	0.07	0.06	0.05	0.04	0.03	0.02	0.01	0																																																	
-0.048	-0.100	-0.156	-0.217	-0.283	-0.354	-0.431	-0.515	-0.605	-0.704	-0.811	-0.928	-1.055	-1.194	-1.347	-1.516	-1.698	-1.702	-1.908	-2.138	-2.397	-2.690	-3.027	-3.418	-3.879	-4.408	-4.999	-5.654	-6.376	-7.166	-8.016	-8.928	-9.904	-10.948	-12.052	-13.218	-14.448	-15.734	-17.068	-18.452	-19.888	-21.378	-22.914	-24.498	-26.132	-27.816	-29.552	-31.342	-33.188	-35.092	-37.046	-39.052	-41.112	-43.228	-45.406	-47.648	-49.956	-52.332	-54.776	-57.288	-59.868	-62.516	-65.234	-68.024	-70.888	-73.828	-76.846	-79.934	-83.092	-86.322	-89.624	-93.000	-96.452	-100.000																											
0.001	0.002	0.003	0.004	0.005	0.006	0.007	0.008	0.009	0.010	0.011	0.012	0.013	0.014	0.015	0.016	1/16	0.017	0.018	0.019	0.020	0.021	0.022	0.023	0.024	0.025	0.026	0.027	0.028	0.029	0.030	0.031	0.032	0.033	0.034	0.035	0.036	0.037	0.038	0.039	0.040	0.041	0.042	0.043	0.044	0.045	0.046	0.047	0.048	0.049	0.050	0.051	0.052	0.053	0.054	0.055	0.056	0.057	0.058	0.059	0.060	0.061	0.062	0.063	0.064	0.065	0.066	0.067	0.068	0.069	0.070	0.071	0.072	0.073	0.074	0.075	0.076	0.077	0.078	0.079	0.080	0.081	0.082	0.083	0.084	0.085	0.086	0.087	0.088	0.089	0.090	0.091	0.092	0.093	0.094	0.095	0.096	0.097	0.098	0.099	0.100

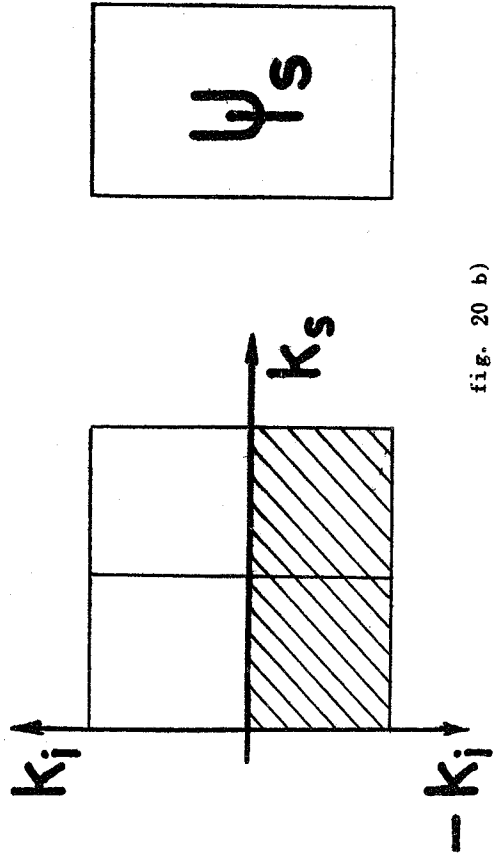


fig. 20 b)

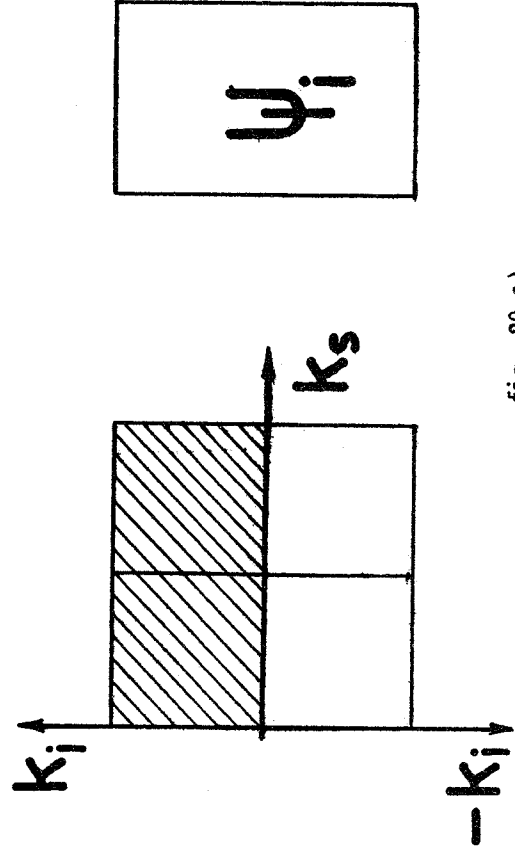


fig. 20 e)

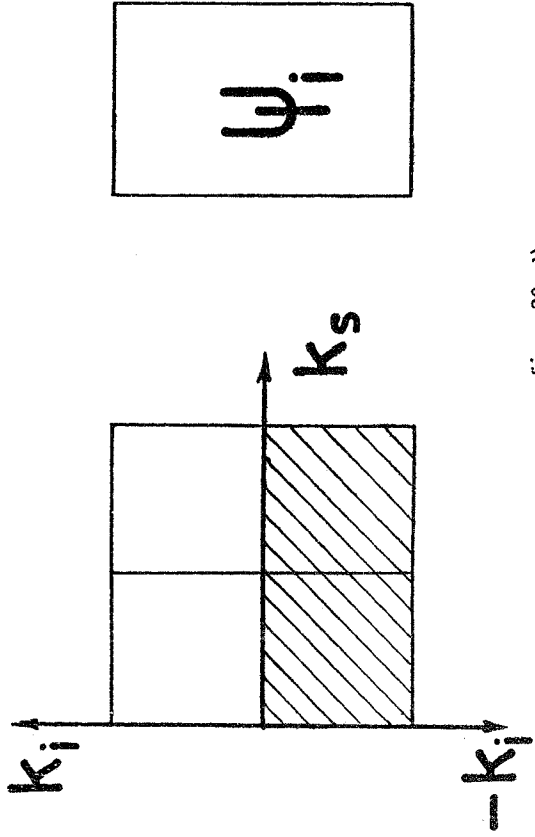


fig. 20 d)

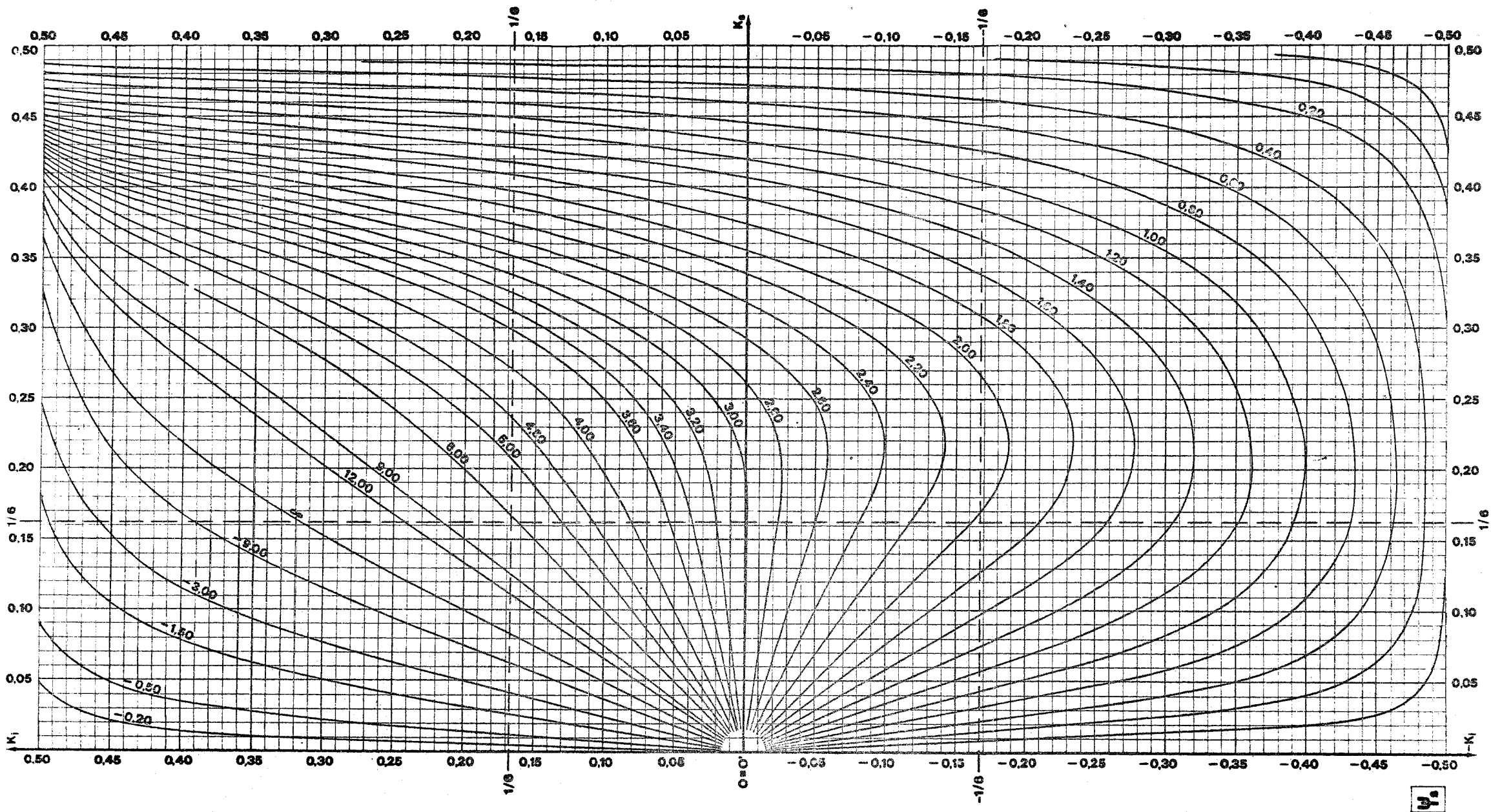


Fig. 21 .a)

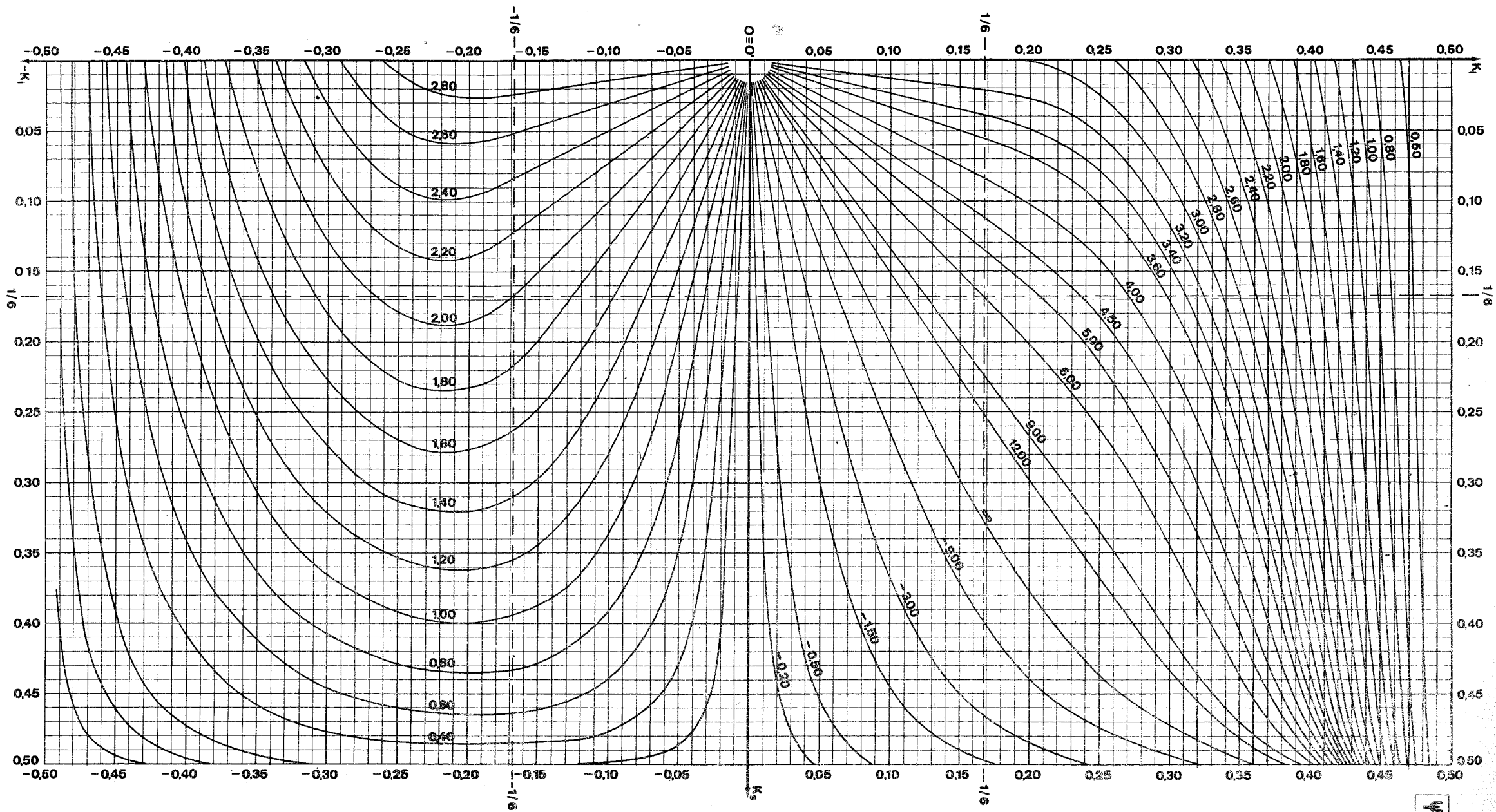


Fig. 21 b)

11